

早橋すケーブルの架設途中における温度応答特性について
(オ1報 ケーブル物性値の特徴について)

(株)神戸製鋼所

正員 大谷修
正員 頭井洋
正員 新家徹

1 予 略 が き

外気温や日射の変動によりケーブル内の温度分布変化およびそれに伴うケーブル長の変化は、ケーブルの施工精度・能率向上の上から重要な問題となる。特にケーブルのサグ調整の際、ケーブルの平均温度を正確に推定することが重要となる。この平均温度を推定する方法としては、1). ケーブル断面内に十数点の測点を取り、温度センサー等により直接計測する方法、2). 代表温度測点を数点計測し、それらから平均温度を推定する方法、3). 解析的に数値計算により求めめる方法等が考えられる。従来は主に2)の方法を採用しているが、代表温度測点をどこにするか、またそれらからいかに平均温度を推定するかについて明確ではないよう思われる。

本研究は、架設途中的早橋すケーブルの温度応答特性を明らかにすることを目的として実施していくもので、本報ではそのオ1段階としてケーブルの物性値(熱伝導率、熱伝達率)をステップ温度応答実験により求め、その特徴について述べる。

2 ステップ温度応答

ここでは、ケーブル物性値を求める記述を明らかにして、

1). ケーブル空隙率の相異による熱伝導率の相異

2). 風速の相異による熱伝達率の相異

2-1 解析理論

物体の初期温度が断面内で一定の時に保たれており、それを恒温(U_{ext} 温度)に挿入した場合の物体各断面(x₁, x₂)での経時応答温度 U_{ci} は 次式で求められる。

円形断面の場合(2次元伝熱)

$$U_{ci} = U_{ext} - (U_{ext} - U_0) \frac{2ah}{\lambda^2 + (2h)^2} \frac{J_0(2\pi x_i/a)}{J_0(2\pi x_i/a)} e^{-\frac{\lambda^2 t}{4h^2}} \quad (1)$$

λ : 熱伝導率 $J_0(x)$: $x J_1(x) - 2h J_0(x) = 0$ のk番目根 J_1 : 第一種ベッセル関数

$$h = \alpha/\lambda, \lambda = \lambda/cg, a = \text{ケーブル半径}, cg = \text{熱容量}, t = \text{経時応答時間}$$

矩形断面の場合(1次元伝熱)

$$U_{ci} = U_{ext} - (U_{ext} - U_0) \sum_{k=1}^{\infty} \frac{4 \sin(M_k l/2)}{M_k l \tan(M_k l/2) - h/l} \cos(M_k x_i) e^{-\frac{h^2 k^2 \pi^2 t}{4l^2}} \quad (2)$$

M_k : $\tan(M_k l/2) - h/l = 0$ のk番目根, l : 断面幅, h : 空隙率

物性値の決定は、物性値を関数として断面内の代表点における実測値と解析値の差の2乗和を最小にする最適化手法により行った。

2-2 ステップ温度応答実験と考察

本実験に用いた供試体は 5mm のピアノ線を束ねて平行線ケーブルとしたものであり、その諸元および測定位置を表1に示す。まず熱伝導率は空隙により相異すると考えられるので、その関係を明らかにするため、空隙率を種々変化させて供試体を用いて、無風の状態で実験を行った。実験結果から上記の方法により求めた各伝導率を表2に示す。熱伝導率は 20% ~ 30% の間に極端に減少している。この原因は、素線間の接触による熱伝導率が空隙率の 20% ~ 30% を境りて激減し、30% 以上の

第1表 ステップ温度応答供試体一覧表

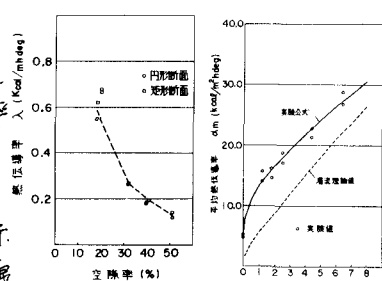
供試体名称	寸法	空隙率	供試体形状および測定位置
C 20	Φ300 × 500	20 %	
C 40	Φ300 × 500	40 %	
R 20	150 × 100 × 200	18.3 %	
R 30	150 × 100 × 200	32.2 %	
R 40	150 × 100 × 200	40.8 %	
R 50	150 × 100 × 200	51.3 %	

第2表 実験より求めた物性値

供試体 種類	空隙率 (%)	熱伝導率 λ (Watt/mdeg)	熱伝達率 α (Watt/m ² deg)
C 20	2.0	0.671	5.00
C 40	4.0	0.183	4.91
R 20	1.8	0.585	
R 30	3.2	0.266	
R 40	4.1	0.195	
R 50	5.1	0.125	

供試体 種類	風速 (m/s)	熱伝導率 λ (Watt/mdeg)	熱伝達率 α (Watt/m ² deg)
C 20	0	0.671	5.0
	1.2	0.665	14.9
	1.8	0.665	15.4
	2.5	0.665	17.9
	4.4	0.665	22.0
	6.4	0.666	27.8

ただし各物性値は実験を2回行ない平均したものである。



第1図 空隙率と熱伝導率の関係 第2図 風速と熱伝導率の関係

空隙では、接触による直接伝導が期待できぬことによるものと考えられる。このことは別途に空隙率と接触伝導に関する検討からも指摘される。

次に熱伝達率は、風速により変動することは周知のとおりである。併せてケーブルの場合の関係を調べるためにC20の供試体を用い、扇風機により風速を種々変化させて実験を行なった。その結果得られた熱伝達率を表すと図4に示した。図中に破線で示した層流理論値は、次式により計算したものである。

$$\alpha_m = K_f C R_e^n / d \quad \dots \dots \dots \quad (3)$$

ただし K_f : 流体の熱伝導率, d : ケーブル直径, R_e : レイノルズ数 $= ud/\nu$, u : 風速

ν : 流体の動粘性係数, C : n は Re に対する行数

実験値と破線との相違の原因としては、本実験では扇風機で風速を与えたため層流より乱流に近いこと、また風速の小さき所では強制対流以外に自然対流の影響が現われること等が考えられる。そこで本文では次のように実験式を導いた。(物理的実験)

$$\alpha_m = K_f C R_e^n / d + \alpha_{\infty} e^{-au} \quad \dots \dots \dots \quad (4)$$

ただし α_{∞} : 自然対流による熱伝達率, $C = 0.8043$, $n = 0.5226$, $a = 1.464 \times 10^{-4}$

而且オーバーは強制対流によるもの、オーバーは自然対流による熱伝達率

3 外気温の変動によるケーブル温度応答

ステップ温度応答を求めて物性値の妥当性を検証するために円形供試体C20を用いて外気温を任意に変動させて実験を行なった。

円形断面の外気温による温度応答の理論式は、次式で示される。

$$U_{ci} = U_i + \frac{2 \pi h}{K_f (d^2 + 4h^2)} \frac{\int_0^{\infty} J_0(akr) dk}{J_0(ak)} T_{ek}(t) \quad \dots \dots \dots \quad (5)$$

ただし $T_{ek}(t) = \frac{a^2}{K_f} K_f L^{-1} \int_0^{\infty} \{ f(z) - U_i \} e^{-azt} dz$, $f(z)$: 外気温

オ3図に上式で求めた計算値を破線および一点鋼線で示し、実験値を○×でプロットした。実験値と理論値はよく一致しており、物性値は妥当なものと考えられる。

次に熱伝達率を風速の関数として与えた場合にその変動が、ケーブル平均温度にどのように影響するかを調べるために外気温を $10 \sin(\omega t)$ でモデル化して時刻のケーブル平均温度を計算により求め、オ4図にその1例を示した。応答温度の最大値および風速の相異による位相の変化が明瞭にみられる。平均温度の相異が頭著で、その後の応答に着目して風速との関係を示したのがオ5図である。風速の影響が頭著に現われるまでは $0 \sim 2\%$ の範囲であり、風速がそれ以上大きくなるとそれ程ケーブル平均温度に影響を与えるようである。

4まとめ

本研究では、従来明らかにしてこなかった物性値の特性を調べ、2・3の考察を行なった。実験中のケーブルでは、空隙が大きくかつ複雑に変動する風を受ける。したがってケーブル平均温度をより正確に推定するためには、これらの影響を考慮した解析を行なう必要があると思われる。また実橋の場合、日射及びふく射等の複雑な気象条件も影響してくれると言えられる。それらの問題点を解明するため、屋外実験および解析的検討を行なって、こので機会を改めて報告する予定である。本研究において、当社中川知和氏の多大な協力を得ましたので、ここに付記し深く感謝の意を表します。

5参考文献

- 1) 長谷川謙一、原田康夫他；平横ケーブル温度測定実験、機械と基礎 1975年1月 2) 橋 藤雄、秋山武也；伝熱論、コロナ社 1975年7月
- 3) 渡辺創夫、中西宏；最適温度の手法による平横型の形状決定解析、建築学会論文集 No.238 1975 4) 内田秀雄；伝熱工学、業華房 1977年2月

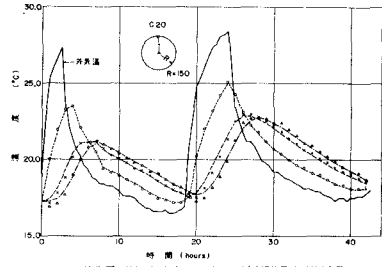


図3 図 外気温の変動に伴なケーブル温度応答 (風速18 m/s)

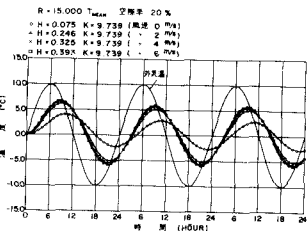


図4 図 外気温 (T_out) の変動に伴なケーブル平均温度の応答 (風速の相異)

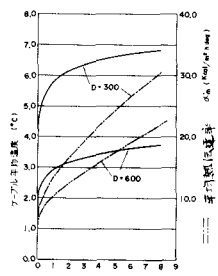


図5 図 ケーブルの温度と特性値の関係 (D: 直径)